

01:10

©1993 г.

НЕЛИНЕЙНЫЕ СТАЦИОНАРНЫЕ ВОЛНЫ ПЛОТНОСТИ ЗАРЯДА В ТРУБЧАТОМ РЭП

В.Г.Дорофеевко, В.Б.Красовицкий

Рассмотрена пространственная эволюция тонкого трубчатого РЭП в фольгированном волноводе с проводящими стенками на расстояниях, значительно превышающих радиус волновода. Показано, что учет радиационного трения приводит к переходу пучка из обычно наблюдаемого на эксперименте режима транспортировки в состояние с меньшей кинетической энергией (второе токовое состояние). Эффект связан с возникновением пространственного усиления стационарных волн плотности заряда в пучке из-за радиационного уменьшения плотности потока импульса и образования структуры типа ударной волны.

Введение

Известно, что ток трубчатого релятивистского электронного пучка (РЭП), инжектируемого в волновод с проводящими стенками вдоль бесконечно сильного магнитного поля, не может превышать некоторое предельное значение I_L [1-4]. Обычно вывод формулы для предельного тока основывается на предположении, что вдали от плоскости инжекции $z = 0$, $\varphi_{z=0} = 0$, (φ — потенциал электрического поля) параметры пучка достигают асимптотических значений, а электрическое поле является чисто радиальным

$$\varphi(r_b) = 2eI/v \cdot \ln(R/r_0), \quad I = -eNv, \quad v = c [1 - (\gamma_0 - \Phi)^{-2}]^{1/2}, \quad (1)$$

где $mc^2\gamma_0$ — энергия инжекции; I , N , v — ток, погонная плотность и скорость пучка; $\Phi = e\varphi(r_b)/mc^2$; $e > 0$ — заряд электрона; R и r_b — радиусы волновода и пучка соответственно.

Согласно (1), зависимость тока пучка от энергии его электронов имеет вид, показанный на рис. 1,а, так что решение существует при $I \leq I_L$, где I_L — предельный ток пучка,

$$I = I_0\beta(\gamma_0 - \gamma) \leq I_L, \quad I_L = I_0(\gamma_0^{2/3} - 1)^{3/2},$$

$$I_0 = mc^3/[2e \cdot \ln(R/r_b)]. \quad (2)$$

При этом точке 1 соответствует большая кинетическая энергия электронов и меньший потенциал, чем точке 2.

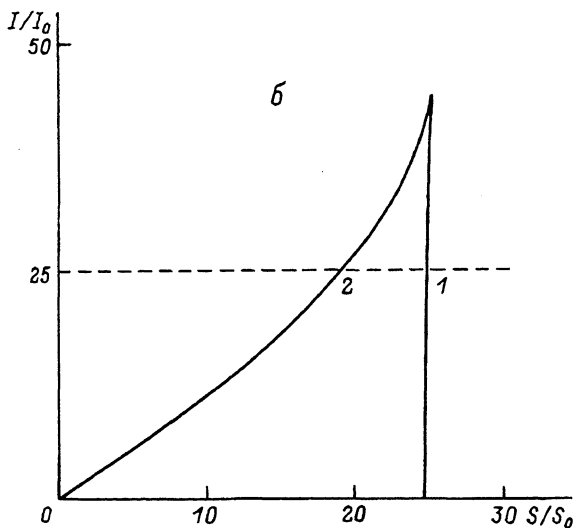
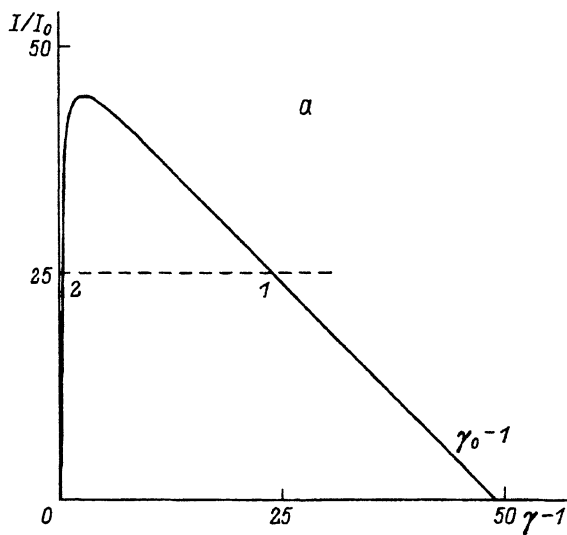


Рис. 1. Зависимость тока пучка I от энергии его электронов γ (а) и от потока импульса S (б).

Энергия инжекции $\gamma_0 = 50$;
 1 — первое токовое состояние пучка,
 2 — второе (при заданном токе I);
 $S_0 = \gamma_0 mc I_0 / e$.

В настоящей работе установлено, что кроме используемых при выводе (1), (2) интегралов тока и энергии условия транспортировки трубчатого РЭП в цилиндрическом вакуумном волноводе определяются также нелокальным интегралом потока импульса [5]

$$mc^2 N \gamma \beta^2 + \frac{1}{4} \int_0^R [(\partial\varphi/\partial r)^2 - (\partial\varphi/\partial z)^2] r dr = S, \quad (3)$$

который определяет “тонкую” энергетическую структуру системы. В отсутствие продольной компоненты электрического поля величина S определяется формулой (Приложение 1)

$$S = \frac{mc}{e} I_0 (\gamma_0 - \gamma) [\gamma \beta^2 + (\gamma_0 - \gamma)/2]$$

(учтено, что ток пучка I зависит от его энергии γ в соответствии с (2)). Эта формула совместно с (2) задает в параметрическом виде зависимость $I(S)$, представленную на рис. 1,б. Как видно, первому токовому состоянию (помеченному цифрой 1 на рис. 1,б) соответствует большее значение потока импульса, чем второму $S_1 > S_2$ (строгое доказательство см. в Приложении 2). В то же время эти состояния пучка не являются единственными, так как в области $S_2 < S < S_1$ существует семейство периодических решений (стоячих волн плотности заряда), непрерывно заполняющих промежутки между ними. Очевидно, что переходы между этими состояниями запрещены в силу закона сохранения потока импульса (3).

Реальная физическая система не является консервативной, и наличие разного рода диссипативных процессов сопровождается уменьшением величины S (3), что соответствует переходу пучка $1 \rightarrow 2$ через все промежуточные состояния. Примером такого процесса, рассмотренного в работе [5], является коллективное рассеяние РЭП на фоновых ионах.

В настоящей работе в качестве конкретного механизма диссипации, приводящего к переходу $1 \rightarrow 2$, учитывается сила торможения излучением [6], действующая на электрон пучка при его движении в неоднородном электрическом поле.¹ В результате пучок переходит в состояние 2, которое, как показывает эксперимент [4], является неустойчивым. Поэтому наше рассмотрение указывает на возможность срыва стационарных токов, близких к критическому значению.

Периодические волны плотности заряда в РЭП

Как показано в [3], для полуограниченного волновода уравнение Пуассона сводится к интегральному уравнению

$$\varphi = -e \int_0^{\infty} G(z, z') N(z') dz', \quad (4)$$

где функция Грина $G(z, z')$ может быть представлена в виде ряда [4] или в интегральном виде

$$G(z, z') = 4\pi^{-1} \int_0^{\infty} dk [I_0(kr_0) K_0(kr_b) - K_0(kR) I_0^2(kr_b) / I_0(kR)] \sin(kz) \sin(kz'), \quad (5)$$

где $I_0(x)$; $K_0(x)$ — модифицированные функции Бесселя первого и второго родов.

При этом зависимость потенциала φ от параметров пучка является нелокальной и определяется поведением функции $N(z)$ на полуоси $z > 0$.

Так как аналитическое решение уравнения (4) в общем виде найти не удается, то ниже получено асимптотическое решение, соответствующее

¹ Заметим, что электростатическая неустойчивость [4] возникает на входе пучка в волновод и формально отсутствует в случае неограниченной трубы, для которой дисперсионное уравнение не имеет комплексных корней

$z \rightarrow \infty$ ($z \gg R$). Фактически это исключает из рассмотрения узкий пограничный слой $\delta z \sim R$ [3], так что полученные ниже решения описывают распространение РЭП в неограниченном цилиндрическом волноводе, а роль плоскости инжекции сводится к определению тока и невозмущенной энергии пучка $mc^2\gamma_0$. Наличие быстро осциллирующих функций в интеграле (4) приводит к тому, что основной вклад дает область интегрирования $k \sim z^{-1}$ и функции Бесселя могут быть разложены в ряды при условии $kR \ll 1$, $kr_b \ll 1$. В этом случае функцию Грина можно представить в виде

$$G(z, z') = 2 \ln(R/r_0) \cdot (1 + L^2 \cdot d^2/dz^2) \delta(z - z'),$$

$$L^2 = [R^2 - r_b^2 - r_b^2 \ln(R^2/r_b^2)] / 4 \ln(R/r_b). \quad (6)$$

После подстановки (6) в (4) с учетом (1) получаем нелинейное дифференциальное уравнение для плотности пучка

$$y'' = -y + \frac{I_0}{I} [\gamma_0 - y/(y^2 - 1)^{1/2}] = F(y), \quad (7)$$

где $y = eNc/I$, штрихом обозначена производная по $\xi = z/L$.

Проведенное выше асимптотическое разложение справедливо, если величина $|y''|$ мала по сравнению с каждым из слагаемых правой части уравнения (7). Поэтому область его применимости совпадает с областью значений параметров I и γ_0 , где функция $|F(y)| \ll 1$. Кроме того, опущенные старшие производные $y^{(2n)}(z)$ ($n \geq 1$) будут малы лишь при условии достаточно медленного изменения функции $y(\xi)$: $|y''| \ll |y|/L^2$. Учитывая эти значения, разложим правую часть (7) в ряд в точке $y = y_{\min}$, $F'(y_{\min}) = 0$

$$F(y) = F(y_{\min}) + \frac{1}{2} F''(y_{\min}) \cdot (y - y_{\min})^2, \quad y_{\min} = [1 + (I_0/I)^{2/3}]^{1/2}. \quad (8)$$

Подставляя (8) в (7) и учитывая формулу (2) для предельного тока пучка, получаем

$$y'' = \gamma_0^{1/3} (\gamma_0^{2/3} - 1)^{-1/2} (I_L/I - 1) - \frac{3}{2} \gamma_0^{1/3} (\gamma_0^{2/3} - 1)^{1/2} (y - y_{\min})^2. \quad (9)$$

Вводя безразмерные величины

$$w = \frac{\gamma_0^{1/3}}{(2|\delta|)^{1/2}} (y/y_{\min} - 1),$$

$$x = \gamma_0^{1/6} (|\delta|/2)^{1/4} \xi, \quad \delta = I_L/I - 1, \quad (10)$$

приводим (9) к виду

$$w'' = \sigma - 3w^2, \quad \sigma = \text{sgn}(\delta). \quad (11)$$

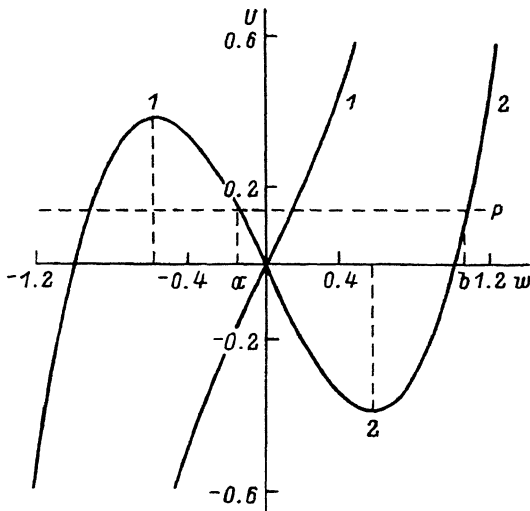


Рис. 2. Зависимость потенциальной энергии U материальной точки от координаты w .

1 — при $I > I_L$ ($\sigma = -1$),

2 — при $I < I_L$ ($\sigma = 1$);

на графике 2 отмечены первое (1) и второе (2) токовые состояния; a и b — корни уравнения $U(w) = P$.

Из (10) и (11) следует, что используемое приближение $|y''| \ll |y|/L^2$ и $|y - y_{\min}| \ll |y_{\min}|$ выполняется при токе, близком к критическому $|\delta| = |I_L/I - 1| \ll 1$.

Первый интеграл (11) имеет вид

$$w'^2/2 + U(w) = P, \quad U(w) = w^3 - \sigma w. \quad (12)$$

Для дальнейшего исследования решений (12) воспользуемся аналогией с механикой, считая w координатой точечной частицы с энергией P и потенциальной энергией $U(w)$. График функции $U(w)$ представлен на рис. 2. Для тока больше предельного ($\sigma = -1$) потенциал не имеет экстремальных точек (кривая 1) и движение частицы является инфинитным. При токе меньше предельного ($\sigma = 1$) форма кривой изменяется (кривая 2) и движение частицы может оказаться финитным. При этом точки 1 и 2 кривой $U(w)$ соответствуют двум равновесным состояниям пучка, представленным на рис. 1, а. При токе, равном предельному, точки 1 и 2 сливаются.

Следует отметить, что наше приближение, ограниченное неравенством $|w| \leq 1$, применимо только для финитных движений частицы, захваченной в потенциальную яму, что соответствует возникновению нелинейных пространственных осцилляций плотности пучка вблизи равновесного значения.²

$$w = a + A c n^2(\kappa(x - x_0), k), \quad A = (1 - 2a^2/4)^{1/2} - 3a/2,$$

$$\kappa = (1 - 3a^2/4)^{1/4}, \quad k = (A/2)^{1/2}/\kappa, \quad (13)$$

где a — корень уравнения $w - w^3 + P = 0$ ($-1/3^{1/2} \leq a \leq 1/3^{1/2}$, рис. 2), x_0 — постоянная интегрирования.

² Качественное исследование пространственных осцилляций трубчатого пучка в вакуумном волноводе при произвольном значении параметра I/I_L проведено Л.А.Юдиным, И.Л.Корневым.

При $P \rightarrow 2/3^{3/2}$ ($a \rightarrow 1/3^{1/2}$) период нелинейных колебаний

$$T(P) = 2^{1/2} \int_a^b (w - w^3 + P)^{-1/2} dw = 2K(k)/\kappa \quad (14)$$

(b — максимальный корень подынтегральной функции, $K(k)$ — полный эллиптический интеграл первого рода) обращается в бесконечность и существует солитонное решение

$$w = -1/3^{1/2} + \tilde{w}, \quad \tilde{w} = 3^{1/2} \operatorname{ch}^{-2} \left[\operatorname{arch}(3^{1/4} \tilde{w}_0^{1/2}) - 3^{1/4} x / 2^{1/2} \right]. \quad (15)$$

Таким образом, в отсутствие диссипации энергии ток трубчатого пучка при $z/R \rightarrow \infty$ выходит на одно из равновесных состояний 1 и 2 или на периодическую асимптотику (см. формулу (13)), имеющую в качестве предельного случая солитонное решение (15).

Можно показать, что интеграл (12) соответствует закону сохранения потока импульса (3) через сечение волновода [5] (см. Приложение 1).

Влияние радиационного трения

В рассматриваемом случае моноскоростного пучка в бесконечно сильном магнитном поле, когда движение является одномерным, радиационная поправка к силе Лоренца (сила торможения излучением) может быть получена из общей формулы [6]

$$f_z = -\frac{2}{3} r_0 e \gamma \beta \frac{\partial^2 \varphi}{\partial z^2}, \quad (16)$$

где $r_0 = e^2 / mc^2$ — классический радиус электрона.

Учет силы (16) в уравнении движения электрона пучка приводит к появлению в уравнении (11) диссипативного слагаемого

$$w' + \nu w' = 1 - 3w^2, \quad \nu = \frac{2^{5/4}}{3} \frac{r_0}{|\delta|^{1/4} L} \gamma_0^{5/6} \beta_0. \quad (17)$$

Для качественного анализа (17), как и раньше, считаем w координатой точечной частицы в потенциале $U(w)$ (рис. 2). Новое по сравнению с (11) слагаемое $\nu w'$ играет роль демпфирующей силы и приводит к опусканию колеблющейся частицы на дно потенциальной ямы. В результате солитонное решение уравнения (11) трансформируется в ударную волну, соответствующую переходу системы из состояния 1 в 2. С ростом ν демпфирование колебаний увеличивается, при $\nu \geq \nu_c$ решение, соответствующее ударной волне, становится монотонным. Графики численных расчетов зависимости $w(x)$ при разных ν представлены на рис. 3, а-в и находятся в согласии со сказанным выше.

Величину ν_c находим, линеаризуя (17) вблизи равновесного значения $w = -3^{-1/2} + \tilde{w} \exp(ikx)$. Из решения соответствующего дисперсионного уравнения

$$k = \pm (2 \cdot 3^{1/2} - \nu^2 / 4)^{1/2} + i\nu / 2 \quad (18)$$

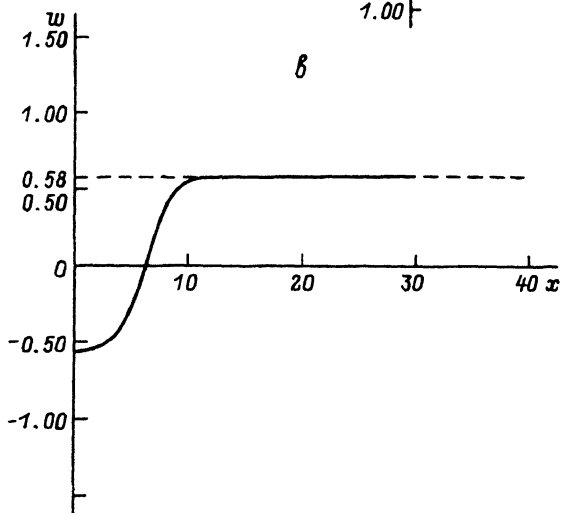
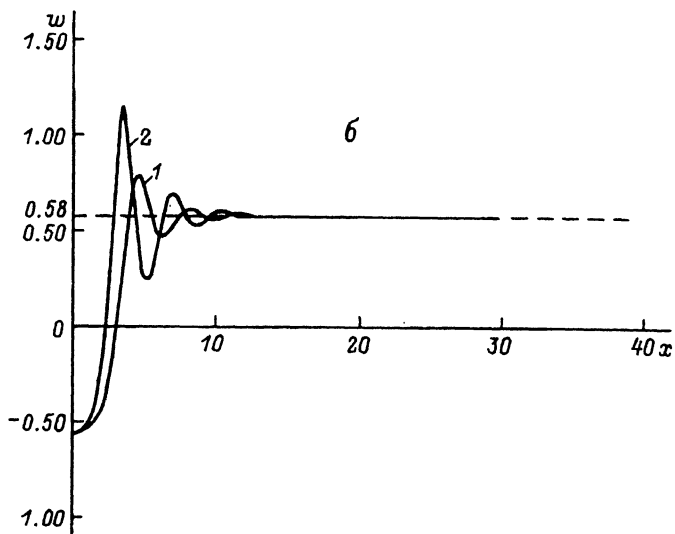
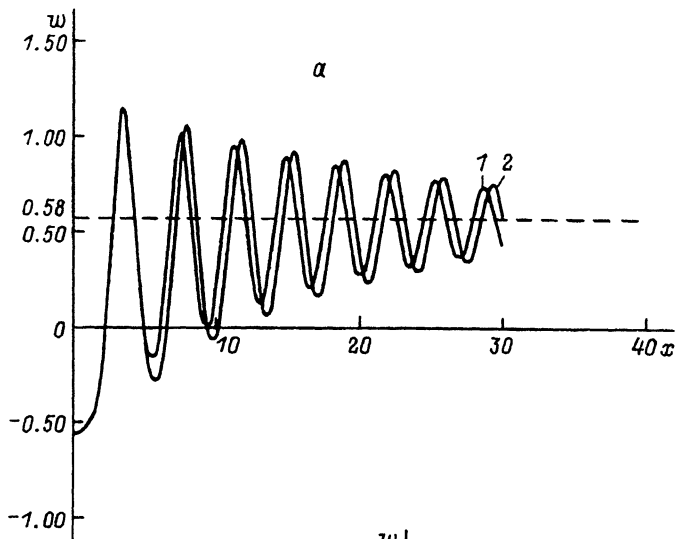


Рис. 3. Графики функции $w(x)$.
 $a - \nu = 0.1$; $b - 1$; $c - 4$;
 1 — численное,
 2 — аналитическое решения.

следует $\nu_c = 2^{3/2} \cdot 3^{1/4}$.

Ввиду малости r_0 условие $\nu \ll 1$ является наиболее реалистичным. В этом случае можно найти асимптотическое по параметру ν аналитическое решение (17). Для этого усредним по периоду нелинейных колебаний T производную величины P (12) по x с учетом затухания (т.е. при выполнении уравнения (17)). В результате получим уравнение, определяющее медленное изменение амплитуды стоячей волны с координатой,

$$\frac{dP}{dx} = -\nu T^{-1} \int_0^T \left[\frac{dw_0(x, P)}{dx} \right]^2 dx, \quad (19)$$

где функция $w_0(x, P)$ задана в (13)

Вводя величину

$$I(P) = \int_0^T w_0'^2(x, P) dx = 2^{3/2} \int_a^b (w - w^2 + P)^{1/2} dw \quad (20)$$

и учитывая, что в силу (14) $T(P) = dI/dP$, приведем (19) к виду $I' + \nu I = 0$, откуда $I(P) = I(P_0) \exp(-\nu x)$, где $P_0 = 2/3^{3/2}$ соответствует солитонному решению (11). Подставляя (13) в (20) и вычисляя интеграл $I(P)$ (см. Приложение 3), получаем соотношение

$$2^{3/2} \cdot 3^{-5/4} \kappa^5 [2(k^4 - k^2 + 1)E(k) - (1 - k^2)(2 - k^2)K(k)] = \exp(-\nu(x - x_0)), \quad (21)$$

задающее зависимость $a(\nu x)$ и $P(\nu x) = a^3 - a$ ($K(k)$ и $E(k)$ — полные эллиптические интегралы первого и второго рода; A, κ, k и a определены формулой (13)). Заметим, что более строгий математический подход [7,8] приводит к изменению не только амплитуды, но и фазы колебаний по сравнению с (13), так что асимптотическое решение (17) имеет вид

$$w(x) = a + A \operatorname{cn}^2(\varphi, k), \quad \varphi = \kappa T \int_{x_0}^x T^{-1} dx = K(k) \int_{x_0}^x \kappa [K(k)]^{-1} dx. \quad (22)$$

При $\nu|x - x_0| \ll 1$ из (13) и (21) следует $k \rightarrow 1$, $a \rightarrow -1/3^{1/2}$, $A \rightarrow 3^{1/2}$ и формула (21) переходит в (15). При $x \rightarrow \infty$ с учетом (13) и (21) находим $k \rightarrow 0$, $A \rightarrow 0$, $w \rightarrow a \rightarrow 1/3^{1/2}$ (решение выходит на горизонтальную асимптоту, соответствующую второму токовому состоянию).

Результаты адиабатической теории иллюстрирует рис. 4, а, б. Графики двухмасштабных функций $w(x)$ при равных ν представлены на рис. 3, а, б. Как видно из графиков, аналитические расчеты с достаточной точностью аппроксимируют точное численное решение уравнений (17).

В заключение отметим, что длина релаксации пучка под действием силы радиационного трения (из (7), (10) и (17))

$$A \sim \frac{1}{\gamma_0 \beta_0} \frac{L^2}{r_0} \quad (23)$$

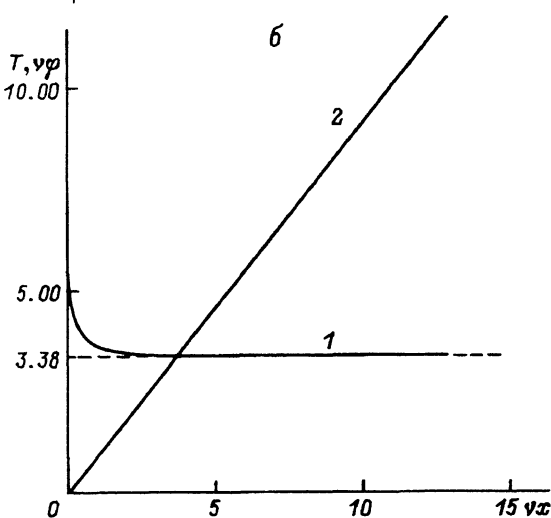
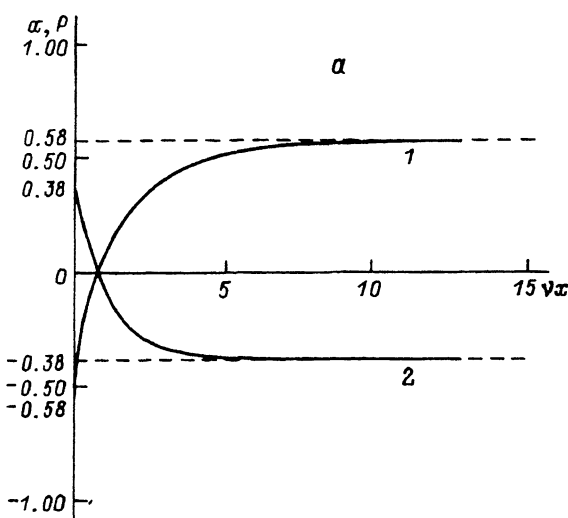


Рис. 4. Результаты адиабатической теории.

a — зависимость α (1) и P (2) от νx ;
б — зависимость T (1) и $\nu\varphi$ (2) от νx .

(L определяется формулой (6)) для реальных волноводов $R \sim 1-10$ см оказывается очень большой из-за наличия в знаменателе классического радиуса электрона $r_0 = 2.8 \cdot 10^{-13}$ см. Однако известно, что сечение рассеяния электромагнитной волны электроном возрастает в $(\lambda/r_0)^2$ раз (λ — длина волны) при переходе от свободной частицы к осциллятору [9]. Поэтому для конечного магнитного поля $\lambda \sim c/\omega_H$ (ω_H — гирочастота) в условиях резонанса с волной $c/\omega_H \sim L \sim R$ можно ожидать значительного уменьшения длины релаксации (23). Однако подобное рассмотрение этого вопроса выходит за рамки данной работы.

ПРИЛОЖЕНИЕ 1

Покажем, что интеграл (12) соответствует закону сохранения потока импульса через сечение пучка (3). Интегрируя в (3) слагаемое $\sim (\partial\varphi/\partial r)^2$ по частям с учетом уравнения Пуассона

$$\frac{1}{r} \frac{\partial}{\partial r} \left(z \frac{\partial \varphi}{\partial r} \right) + \frac{\partial^2 \varphi}{\partial z^2} = 2eN \frac{\delta(r - r_b)}{r}$$

и закона сохранения энергии ($\gamma - \gamma_0 = -e\varphi/mc^2$), преобразуем это выражение к виду

$$mc^2 N [\gamma\beta^2 + (\gamma_0 - \gamma)/2] + \frac{1}{4} \int_0^R \left[\varphi \frac{\partial^2 \varphi}{\partial z^2} - \left(\frac{\partial \varphi}{\partial z} \right)^2 \right] r dr = S. \quad (\text{П1.1})$$

Интеграл (П1.1) вычисляем в длинноволновом приближении

$$\varphi(r, z) \approx -2eN(z) \cdot \begin{cases} \ln(R/r), & r > r_b, \\ \ln(R/r_b), & r < r_b. \end{cases}$$

После обезразмеривания получаем

$$\begin{aligned} & \frac{y'^2 + y^2}{2} - \frac{I_0}{I} \left[\gamma_0 y - (y^2 - 1)^{1/2} \right] - \\ & - \frac{y}{2} \left\{ y'' + y - \frac{I_0}{I} \left[\gamma_0 - \frac{y}{(y^2 - 1)^{1/2}} \right] \right\} = - \frac{c^2}{2I^2 \ln(R/r_b)} S. \end{aligned} \quad (\text{П1.2})$$

Выражение в фигурных скобках левой части (П1.2) в силу (7) равно нулю, а оставшееся выражение совпадает с первым интегралом уравнения (7) (т.е. с формулой (12) при $y \rightarrow y_{\min}$).

ПРИЛОЖЕНИЕ 2

Воспользовавшись формулами (1), (2), (П1.1), вычислим производную dI/dS

$$\frac{dI}{dS} = \frac{dI/d\beta}{dS/d\beta} = \frac{eI_0}{mc} \frac{1}{\gamma\beta} > 0. \quad (\text{П2.1})$$

Поскольку в точке $I = I_L$ значения потоков импульса первого и второго состояний совпадают $S_1 = S_2 = S_L$, а в силу (П1.1) $dI_2/dS_2 > dI_1/dS_1$, то (так как $S_{1,2} < S_L$) $I_2(S_2)$ убывает при уменьшении S быстрее, чем $I_1(S_1)$, и $S_1 > S_2$ при заданном I (рис. 1,б).

ПРИЛОЖЕНИЕ 3

Вычисление интеграла $I(P)$ (20) удобно провести, изменив переменную интегрирования x на α в соответствии с соотношением

$$\text{cn}(k(x - x_0), k) = \cos \alpha. \quad (\text{П3.1})$$

Тогда

$$I(P) = 4\kappa A^2 \int_0^\pi \sin^2 \alpha \cos^2 \alpha (1 - k^2 \sin^2 \alpha)^{1/2} d\alpha. \quad (\text{П3.2})$$

Вычисление (П3.2) [10] приводит к формуле (21).

Список литературы

- [1] *Богданкевич Л.С., Рухадзе А.А.* // УФН. 1971. Т. 103. № 4 С. 609–640.
- [2] *Brejzman V.N., Rytov D.D.* // Nucl. Fusion. 1974. Vol. 14. P. 873–907.
- [3] *Рютов Д.Д.* // ЖТФ. 1977. Т. 47. Вып. 4. С. 709–715.
- [4] *Миллер Р.* Введение в физику сильнооточных пучков заряженных частиц. М.: Мир, 1984. С. 117, 346–356.
- [5] *Красовицкий В.Б.* // Изв. вузов. Радиофизика. 1988. Т. 31. № 11 С. 1400–1406.
- [6] *Ландау Л.Д., Лифшиц Е.М.* Теория поля. М.: Наука, 1973. С. 273.
- [7] *Красовицкий В.Б.* // ЖТФ. 1988. Т. 58. Вып. 6. С. 1090–1095.
- [8] *Крускал М.* Адиабатические инварианты. М.: ИЛ, 1962.
- [9] *Файнберг Я.Б., Курилко В.И.* // ЖТФ. 1959. Т. 29. Вып. 3. С. 939.
- [10] *Прудников А.П., Брычков Ю.А., Маричев О.И.* Интегралы и ряды. Элементарные функции. М.: Наука, 1981. 205 с.

Ростовский университет
Институт общей физики
Москва

Поступило в Редакцию
13 января 1992 г.